

The image features several large, three-dimensional metallic dollar signs (\$). They are arranged on a solid blue background. The lighting creates highlights and shadows on the metallic surfaces, giving them a realistic, three-dimensional appearance. One dollar sign is prominently in the foreground, slightly to the left of the center. Another is to its left, and a third is partially visible in the bottom left corner. In the background, there are more dollar signs, some of which are out of focus.

Les milieux financiers:

cours boursiers, entre instabilité et
prévisions

Milieus : interactions,
interfaces, homogénéité,
ruptures

The background of the slide features several large, three-dimensional white dollar signs (\$). They are scattered across the light blue background, with some in sharp focus in the foreground and others blurred in the background, creating a sense of depth. The dollar signs are oriented in various directions, with one prominently in the center-left.

Objectifs

- Prévoir les variations des prix dans les marchés
- Etudier la fiabilité des modèles de prédiction sur des données réelles

Contributions

- Prise de contact avec une banque d'investissement
- Implémentation d'un programme de résolution
- Vérification des résultats théoriques sur des données réelles

Plan

I- Milieux d'étude

- 1) Ecosystème chaotique (brown)
- 2) Analogie avec le milieu financier

II- Modélisation

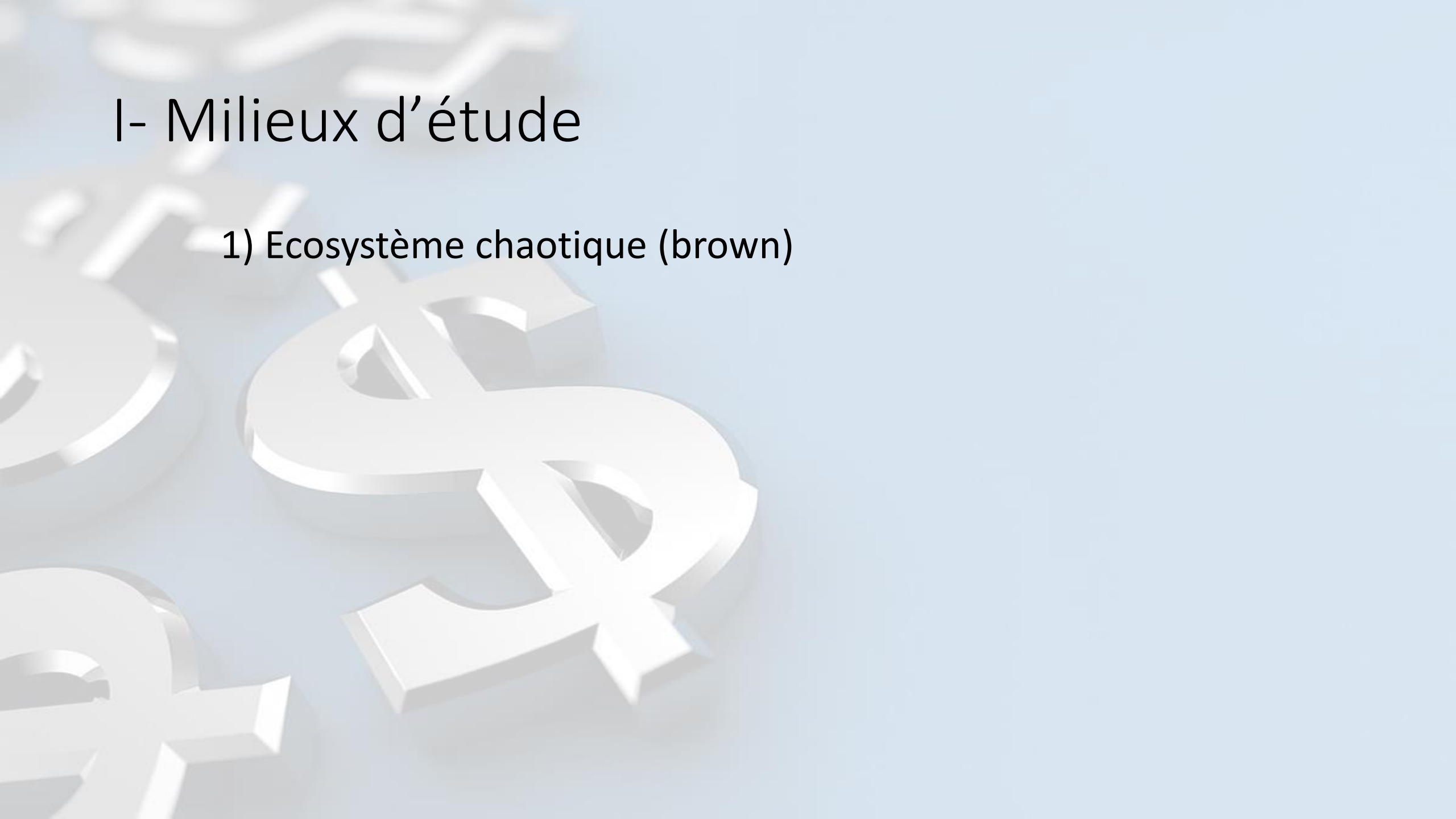
- 1) Approche probabiliste
- 2) Vers la limite du continu et Black and Scholes

III- Résolutions et fiabilités de modèles

- 1) Résolutions analytique et numérique
- 2) Fiabilité et Cox-Ross-Rubinstein

I- Milieux d'étude

1) Ecosystème chaotique (brown)



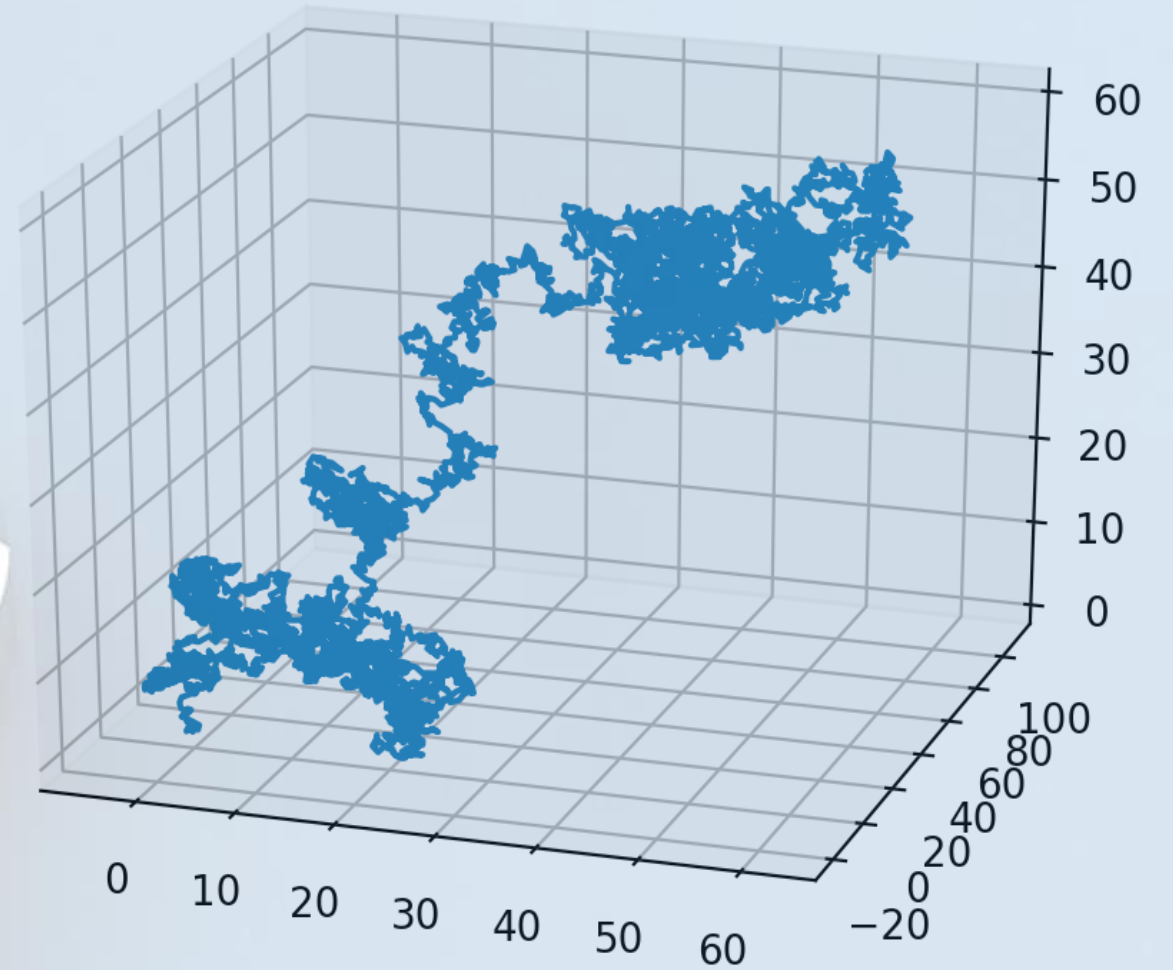
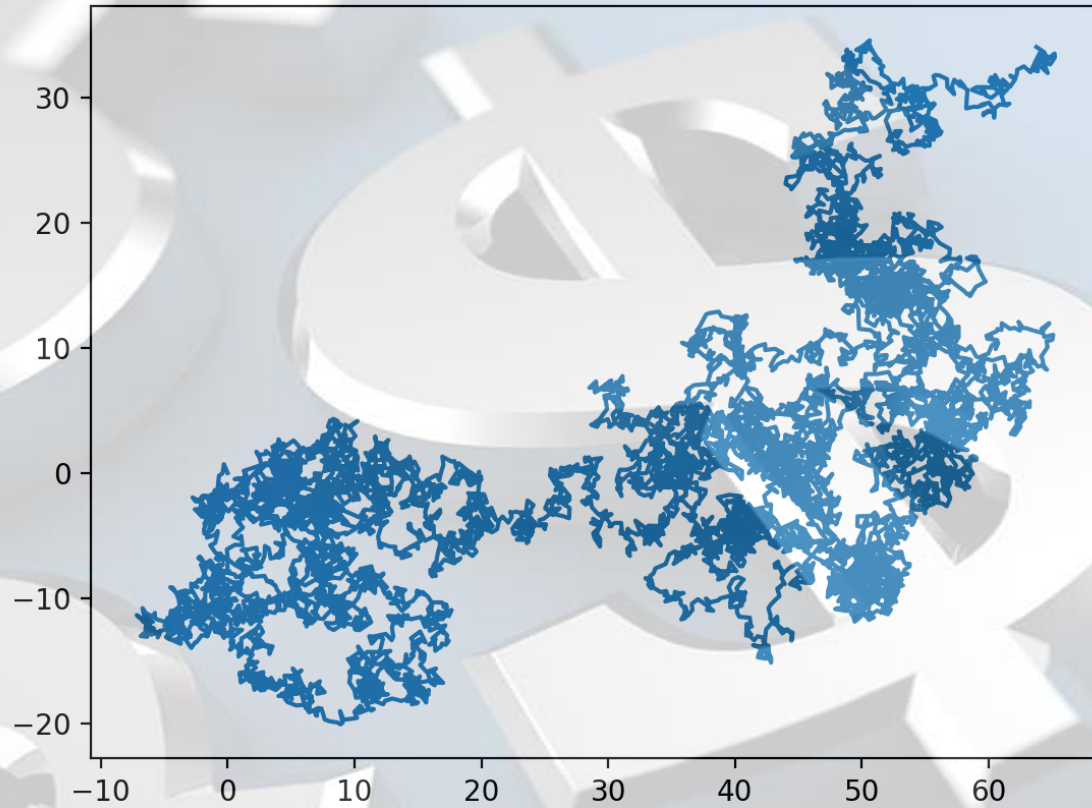
Observations de Robert Brown



- Mouvement irrégulier
- Trajectoire sans tangentes.
- Indépendant de la nature de la particule.
- Le mouvement est d'autant plus erratique que la particule est petite, la température élevée, la viscosité faible.
- Incessant.

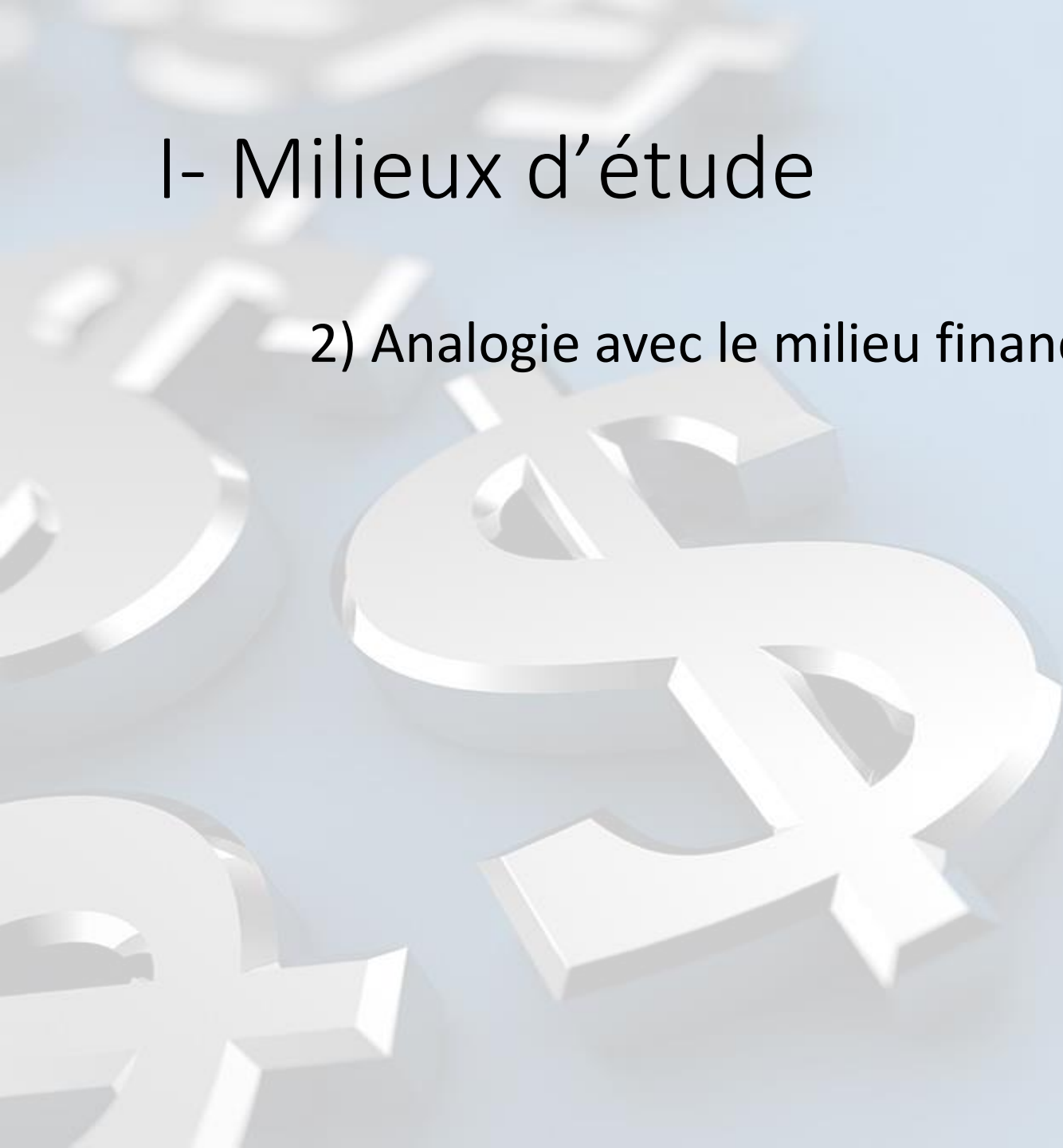
Un mouvement aléatoire

Simulation du mouvement brownien



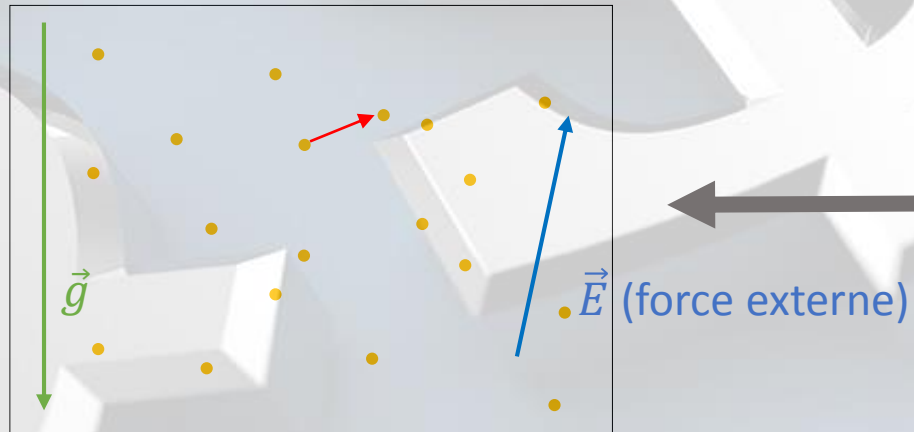
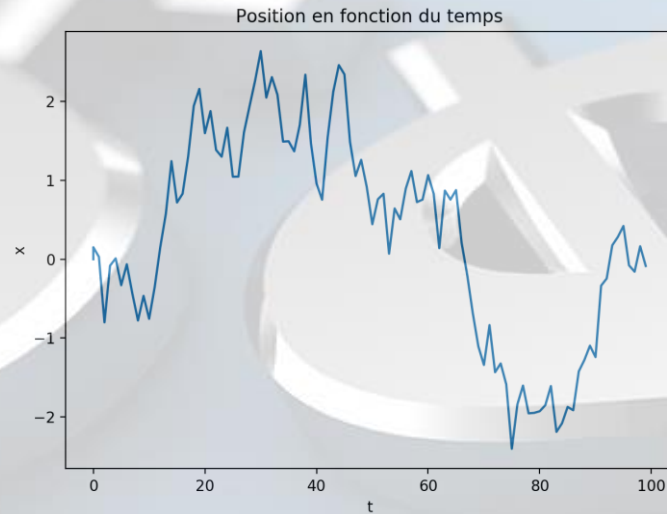
I- Milieux d'étude

2) Analogie avec le milieu financier

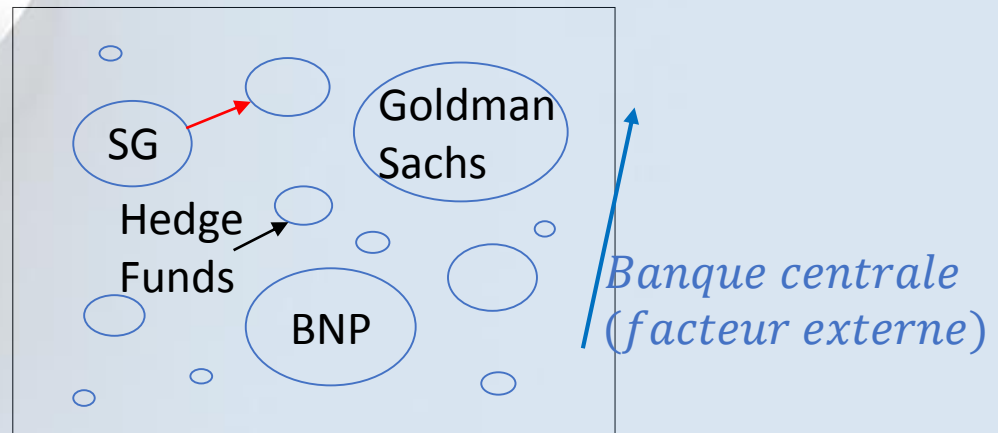
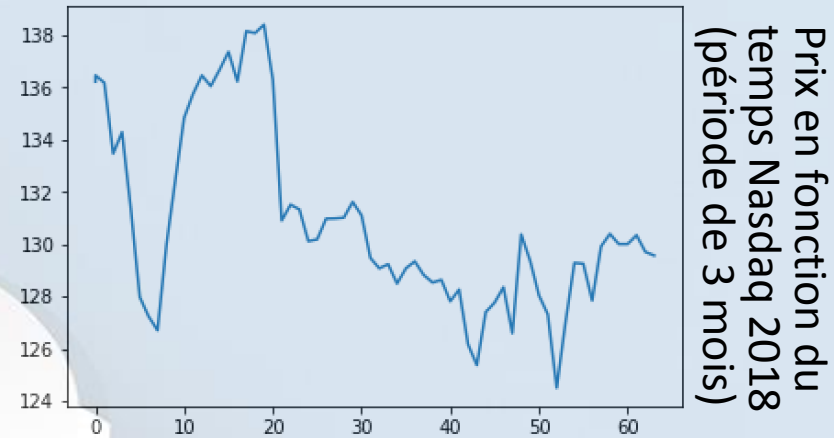


L'analogie de Bachelier

Pollen en interaction (milieu physique)



Marché financier en interaction



Inadéquation avec l'époque

- Siècle de la mécanique Newtonienne et du déterminisme Laplacien



- Mouvement brownien non perçu dans le cadre de la physique



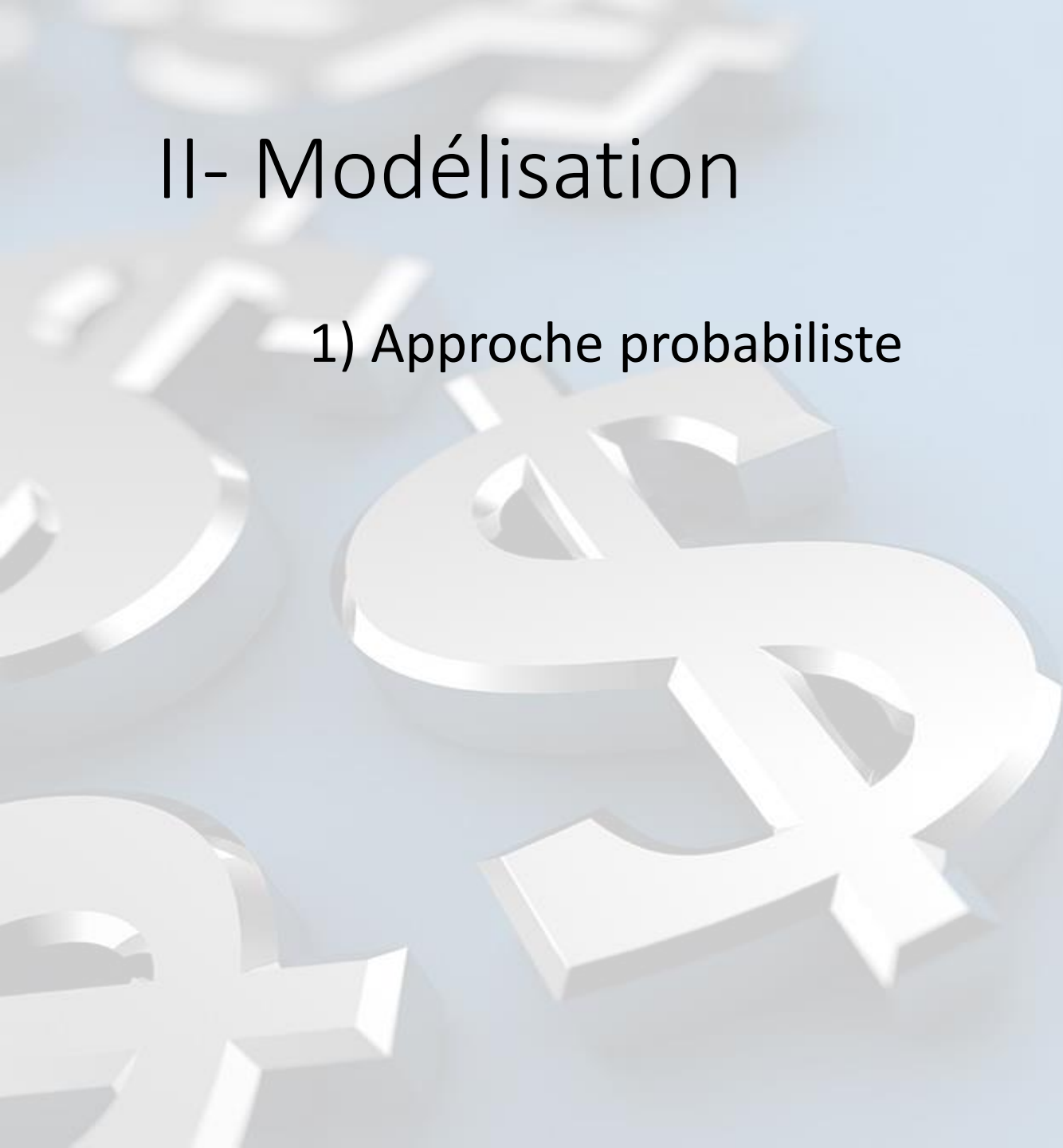
- Approche probabiliste

Approche probabiliste

- Innovations de Bachelier
 - Introduction de la diffusion
 - Utilisation des probabilités (5 ans avant Einstein)
- Einstein utilise la densité de probabilité
- Il modélise la marche aléatoire

II- Modélisation

1) Approche probabiliste

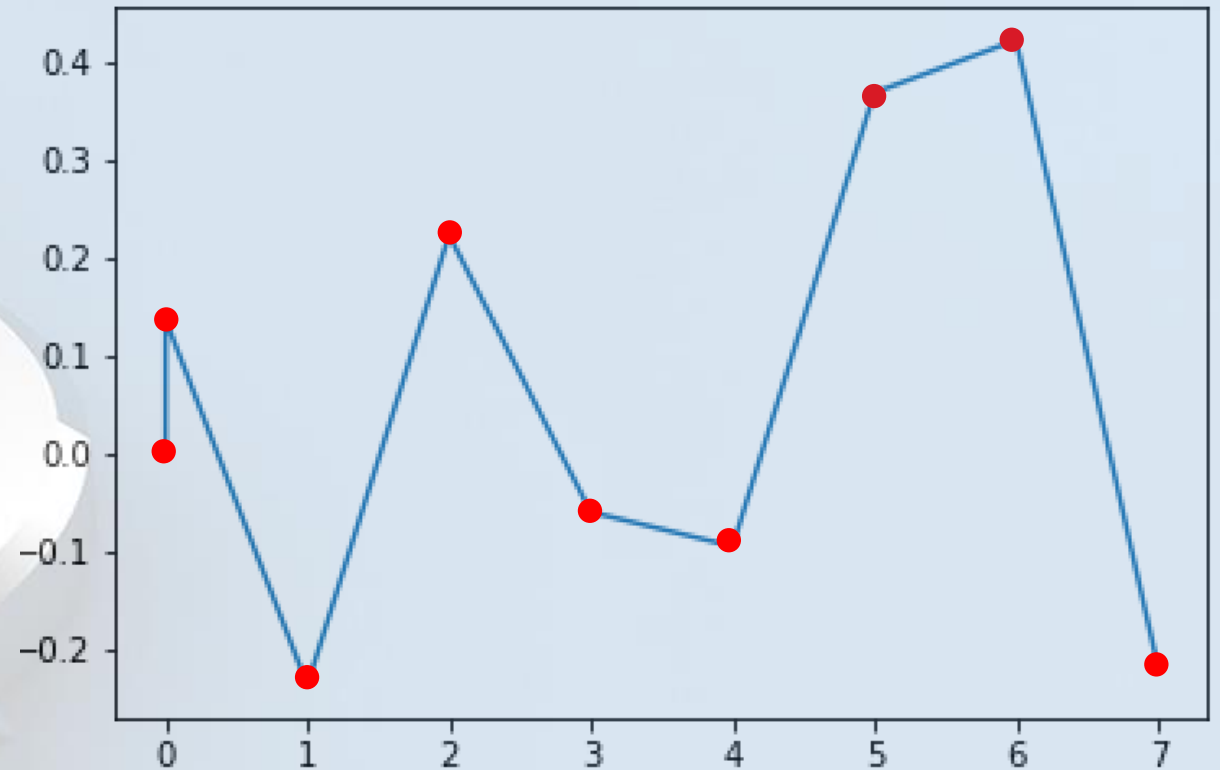


La marche aléatoire

- Temps de collision moyen
 $t_c \approx 2 \cdot 10^{-10} \text{ s}$
- temps de mesure de l'appareil τ
 $\approx 1 \cdot 10^{-2}$ (par rapport a t_c)

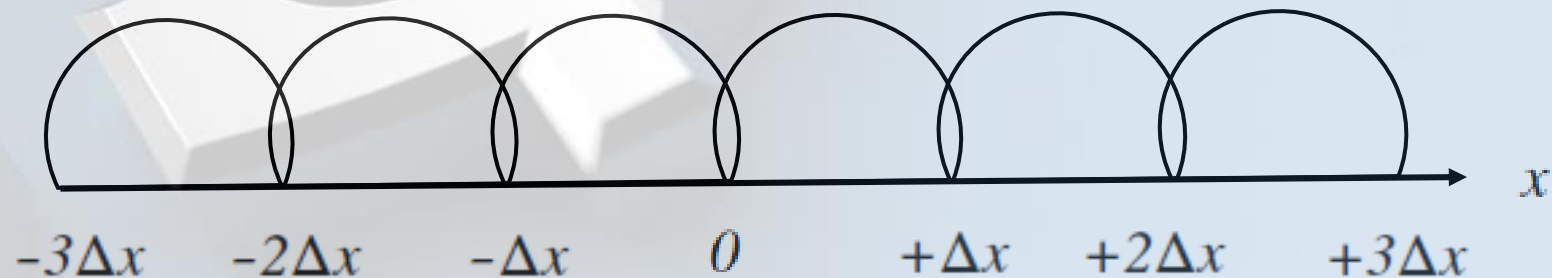


- Discrétisation du temps



En une dimension...

- Déplacements de $\pm\Delta x$
- Intervalles de temps de $t=n\tau$
- $\mathbb{P}(\text{'la particule se déplace de } +\Delta x')=p$
- $\mathbb{P}(\text{'la particule se déplace de } -\Delta x')=q$
- Avec $p \neq q$ et $p+q=1$
- $\mathbb{P}(k\Delta x, n\tau)$ = 'probabilité que la particule se trouve en $k\Delta x$ après n déplacements' ($k \in \mathbb{Z}$)



Une affaire de probabilités

- $\mathbb{P}(k\Delta x, n\tau) = p^{\frac{n+k}{2}} q^{\frac{n-k}{2}} \frac{n!}{\frac{n+k}{2}! \frac{n-k}{2}!}$
- $\mathbb{E}(X) = \sum_{k \in \mathbb{Z}} \mathbb{P}(k\Delta x, n\tau) \cdot k\Delta x = \sum_{k \in \mathbb{Z}} \frac{\mathbb{P}(k\Delta x, n\tau)}{\Delta} \Delta \cdot k\Delta x$



II- Modélisation

2) Vers la limite du continu et Black and Scholes

Vers la limite du continu...

$$\Delta \rightarrow 0 \quad \tau \rightarrow 0$$

- $\sum_{k \in \mathbb{Z}}$

- Δx

- $k\Delta x$

- $\frac{\mathbb{P}(k\Delta x, n\tau)}{\Delta}$

- $\sum_{k \in \mathbb{Z}} \frac{\mathbb{P}(k\Delta x, n\tau)}{\Delta} \Delta \cdot k\Delta x$

- $\int_{\mathbb{R}}$

- dx

- x

- $\mathbb{P}(x, t)$ densité de probabilité

- $\int x \cdot \mathbb{P}(x, t) dx$

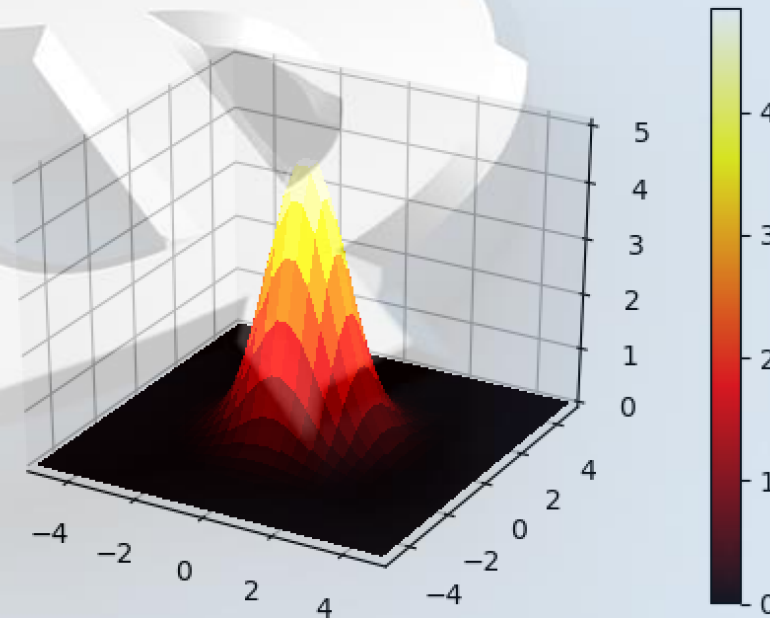
Vers une équation de diffusion

- $\mathbb{P}(x, t) = \frac{1}{\sqrt{4\pi Dt}} e^{-\frac{x^2}{4Dt}}$ vérifie:

- $\frac{\partial}{\partial t} \mathbb{P}(x, t) = D \frac{\partial^2}{\partial x^2} \mathbb{P}(x, t)$

EN 3
DIMENSIONS...

$$\frac{\partial}{\partial t} \mathbb{P}(x, t) = D \cdot \Delta \mathbb{P}(x, t)$$



Equivalence avec Black and Scholes

$$\frac{\partial}{\partial t} P(x,t) + \frac{F(x)}{m\gamma} \frac{\partial}{\partial x} P(x,t) - D \frac{\partial^2}{\partial x^2} P(x,t) + \frac{1}{m\gamma} \left(\frac{\partial}{\partial x} F(x) \right) \cdot P(x,t) = 0$$

Equation de diffusion avec coefficients non constants

En posant...

$$x=S \quad \frac{F(S)}{m\gamma} = rS \Leftrightarrow F(S) = m\gamma rS \quad D = \frac{S^2 \sigma^2}{2} \quad \frac{1}{m\gamma} \left(\frac{\partial}{\partial S} F(S) \right) = r$$

On obtient:

$$\frac{\partial}{\partial t} C(S,t) + rS \frac{\partial}{\partial S} C(S,t) + \frac{S^2}{2} \sigma^2 \frac{\partial^2}{\partial S^2} C(S,t) - rC(S,t) = 0$$

Black and Scholes



III- Résolutions et fiabilités de modèles

1) Résolutions analytique et numérique

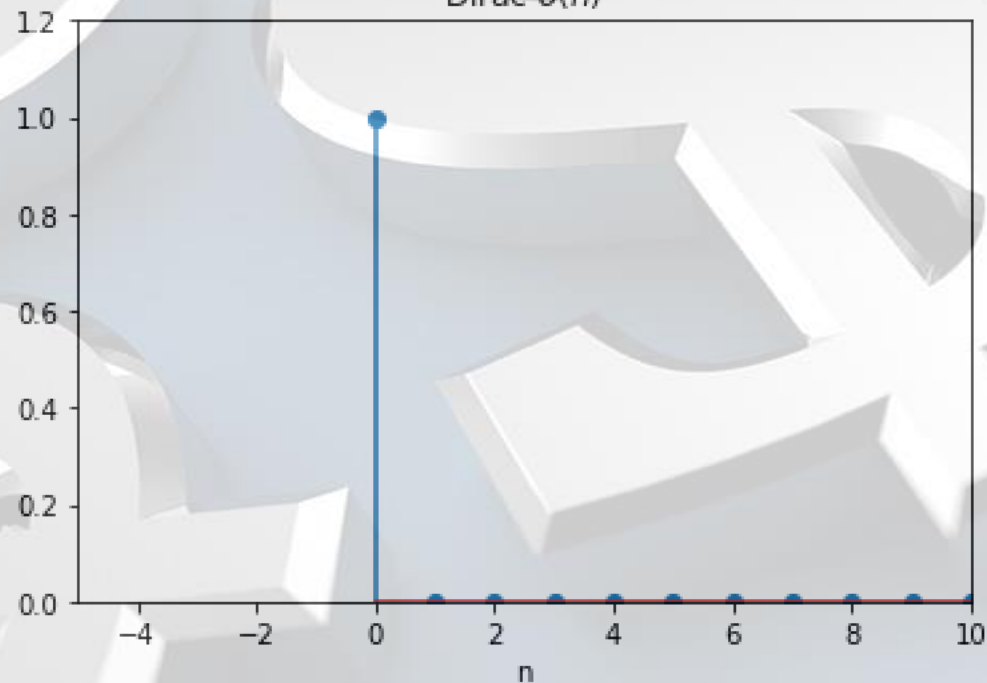


Résolution analytique

Pic de Dirac

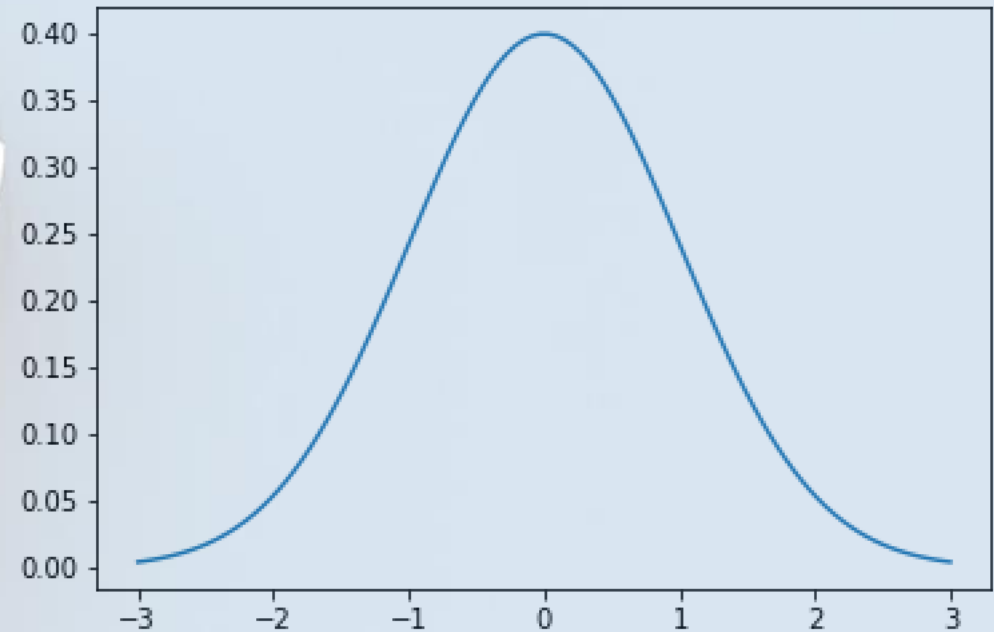
- $$\mathbb{P}(x, t) = \frac{1}{\sqrt{4\pi Dt}} e^{-\frac{x^2}{4Dt}}$$

Dirac $\delta(n)$

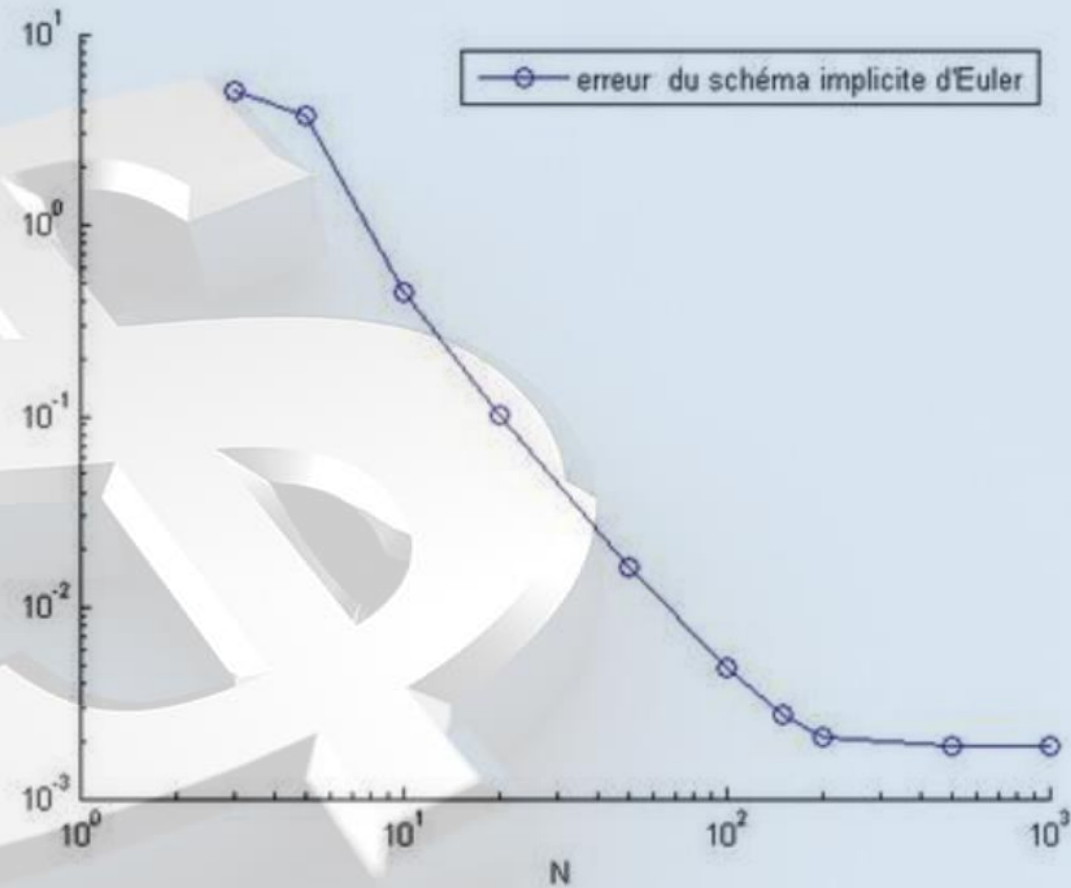


Gaussienne

- $$\mathbb{P}(x, t) = \frac{\sqrt{2\sigma}}{\sqrt{4\pi Dt + 2\sigma}} e^{-\frac{x^2}{4Dt + 2\sigma}}$$



Résolution numérique

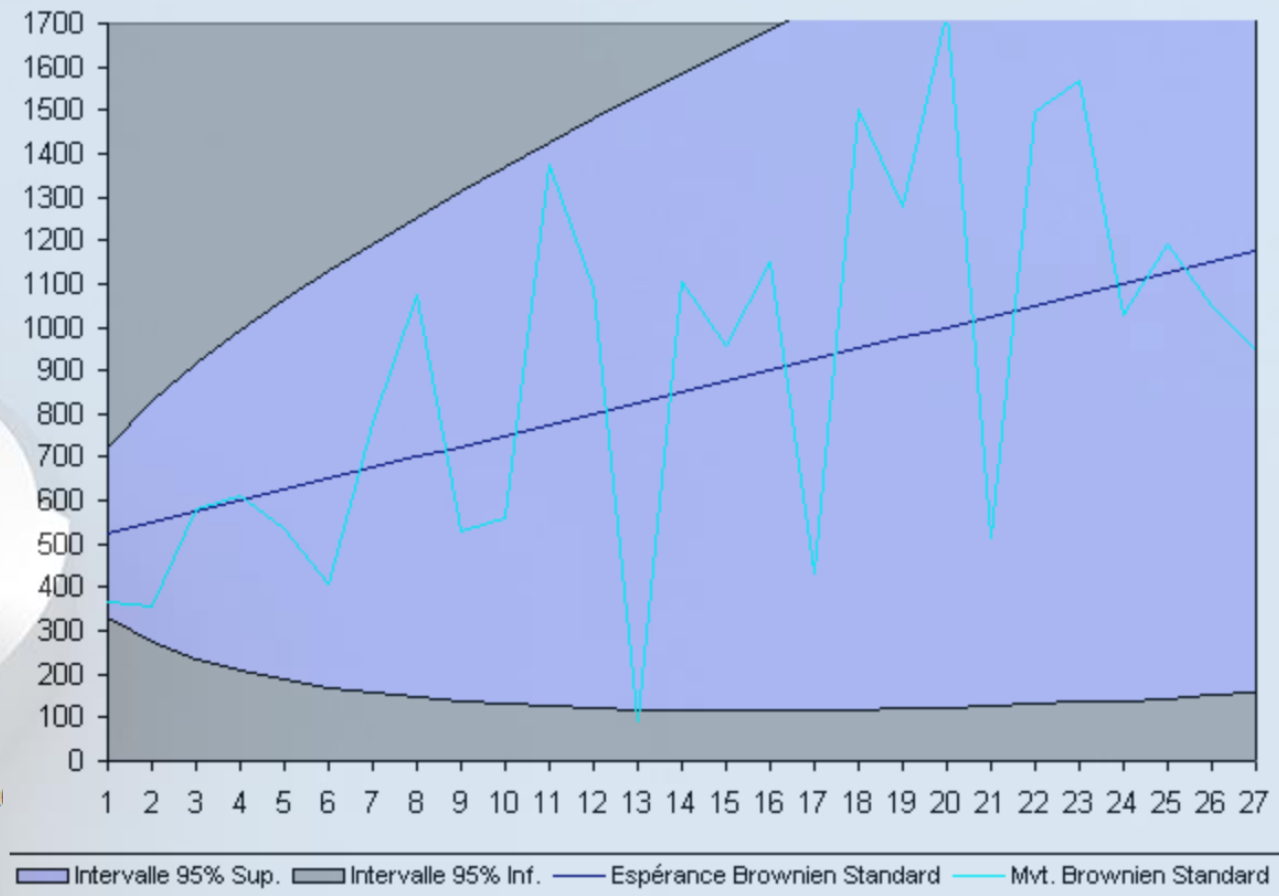
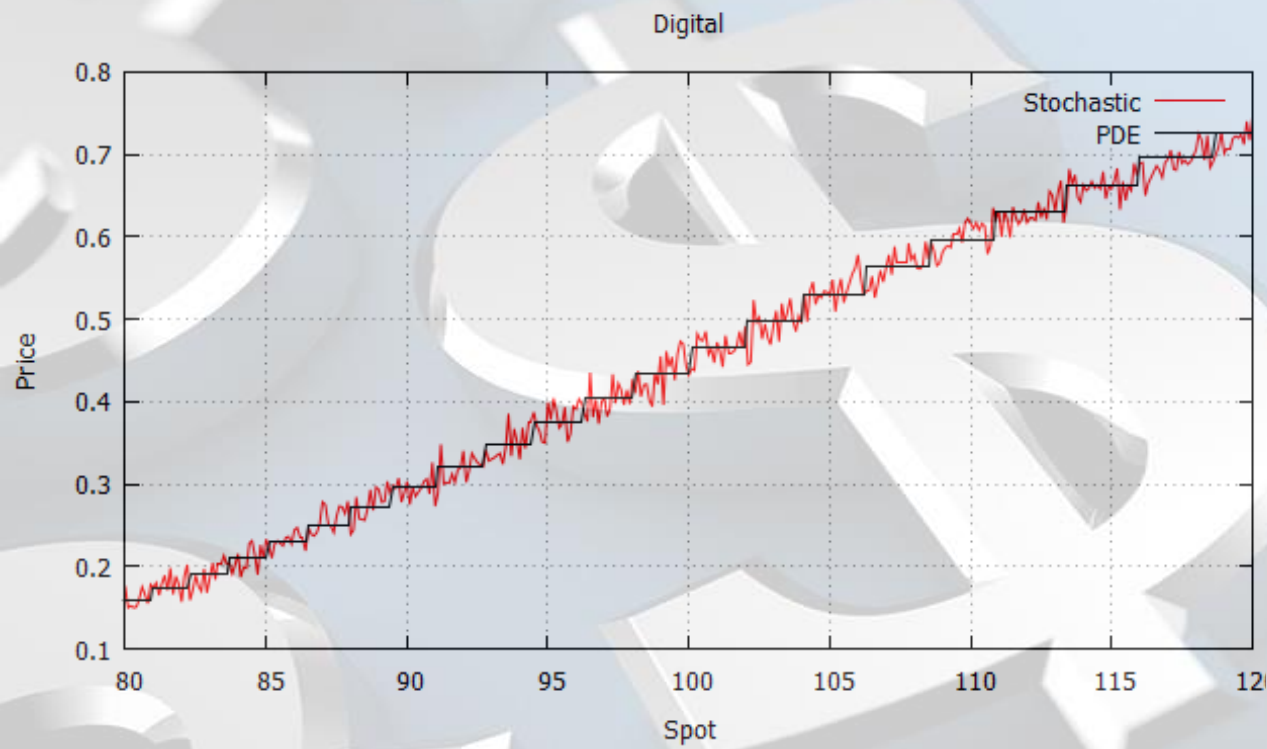


III- Résolutions et fiabilités de modèles

2) Fiabilité et Cox-Ross-Rubinstein



Fiabilité



Cox-Ross-Rubenstein

